

# Kapitel 5

## Amortisierte Analyse

Effiziente Algorithmen, SS 2018

Professor Dr. Petra Mutzel

VO 11/12/13 am 22./24./29. Mai 2018

# Amortisierte Analyse

**Betrachte** Datenstruktur  $D$  mit Operationen

**Übliche Worst-Case-Analyse**

**klar** bei  $n$  Daten in  $D$

Worst-Case-Rechenzeit  $t(n)$  je Operation

**dann** Gesamt-rechenzeit für  $m$  Operationen

trivial durch  $m \cdot t(n)$  nach oben beschränkt

**Alternativ** bei  $\leq n$  Daten in  $D$  und  $m$  Operationen

Worst-Case-Gesamt-rechenzeit  $t(n, m)$

**Hoffnung**  $t(n, m) \ll m \cdot t(n)$

**Notation**  $t(n, m)/m =$  **amortisierte Rechenzeit** einer Operation

# Methoden und Anwendungsbeispiel

**Plan** drei Methoden zur amortisierten Analyse  
**abstrakt** besprechen und **konkret** anschauen

**Beispiel Binärzähler**

**Aufgabe** zu  $z \in \mathbb{N}_0$  speichere Binärdarstellung  $(z_{l-1}z_{l-2} \dots z_1z_0)_2$

$$\text{mit } z = \sum_{i=0}^{l-1} 2^i z_i$$

**Operationen** SetzeNull() und PlusEins() (Beginn bei  $z = 0$ )

**Implementierung** lineare Liste  
 Listenanfang  $z_0$ ; mit  $z_i$  Zeiger auf  $z_{i+1}$  verwaltet

**Vereinbarung** Manipulation eines Listeneintrags in Zeit 1

**klar** SetzeNull() in Zeit 1  
 PlusEins() bis zu Zeit  $l$  ( $11111 \rightsquigarrow 100000$ )

**also** Worst-Case-Zeit von  $m$  Operationen  $O(m \cdot \log m)$

## 5.1 Amortisierte Analyse mit der Potenzialmethode

**Betrachte** Folge von Datenstrukturen  $D_i$  und Operationen  $\text{Op}_i$

$$D_0 \xrightarrow{\text{Op}_1} D_1 \xrightarrow{\text{Op}_2} D_2 \xrightarrow{\text{Op}_3} D_3 \xrightarrow{\text{Op}_4} \dots \xrightarrow{\text{Op}_m} D_m$$

$T_i$  tatsächliche Rechenzeit von  $\text{Op}_i$

**Definiere** **Potenzialfunktion**  $\Phi: \mathcal{D} \rightarrow \mathbb{R}_0^+$

**Amortisierte Rechenzeit** von  $\text{Op}_i$ :

$$a_i = T_i + \Phi(D_i) - \Phi(D_{i-1})$$

**Forderung** für die Potenzialfunktion:  $\Phi(D_i) \geq \Phi(D_0)$  für alle  $i$   
**Rechtfertigung**

$$\begin{aligned} \sum_{i=1}^m a_i &= \sum_{i=1}^m (T_i + \Phi(D_i) - \Phi(D_{i-1})) \\ &= \sum_{i=1}^m T_i + \sum_{i=1}^m (\Phi(D_i) - \Phi(D_{i-1})) = \sum_{i=1}^m T_i + (\Phi(D_m) - \Phi(D_0)) \geq \sum_{i=1}^m T_i \end{aligned}$$

# Beispiel Binärzähler mit Potenzialmethode

**Betrachte** Operation PlusEins(), Beginn bei  $z = 0$

**Definition**  $\Phi(z) := \sum_{i=0}^{l-1} z_i$ , also  $\Phi(D_0) = 0$

**Bestimmung von**  $a_i = T_i + \Phi(D_i) - \Phi(D_{i-1})$

**1. Fall** vorher  $z_0 = 0$

**Beobachtungen**  $T_i = 1$   $\Phi(D_i) = \Phi(D_{i-1}) + 1$

**also**  $a_i = T_i + \Phi(D_i) - \Phi(D_{i-1}) = 2$

**2. Fall** vorher  $z_0 = z_1 = \dots = z_{k-1} = 1$  ( $0 < k < l$ ,  $k$  max.)

**Beobachtung**  $T_i = k + 1$   $\Phi(D_i) = \Phi(D_{i-1}) - k + 1$

**also**  $a_i = T_i + \Phi(D_i) - \Phi(D_{i-1}) = k + 1 - k + 1 = 2$

**also** Gesamtrechenzeit bei  $m$  Operationen  $O(m)$

**Beobachtung** asymptotisch exakt

## 5.2 Amortisierte Analyse mit Kostenverteilung

**Definiere**    **Kostenträger**  
zum Beispiel Operationen, Teile der Datenstruktur, ...

**Für jede Operation**    verteile reale Laufzeit  $T_i$   
beliebig auf Kostenträger

**Berechne Gesamtkosten**    durch Addition über Kostenträger

**Anmerkung**    schon gesehen beim Beweis von Lemma 4.17  
Sperrflussberechnung mit Forward-Backward-Propagation  
Verteilung der Laufzeit in der While-Schleife in Forward  
auf betrachtete Kanten

# Beispiel Binärzähler mit Kostenverteilung

**Definiere** verteile Kosten  $k$  einer PlusEins-Operation gleichmäßig auf die  $k$  berührten Stellen

**Beobachtung** Ziffer  $z_i$  in jeder  $(2^i)$ -ten Operation  
**also** bei  $m$  Operationen  
 Kosten  $\lceil m/2^i \rceil$  bei Kostenträger  $z_i$

**also Gesamtkosten**

$$\sum_{i=0}^{l-1} \lceil \frac{m}{2^i} \rceil < \sum_{i=0}^{l-1} (1 + \frac{m}{2^i})$$

$$= l + m \cdot \sum_{i=0}^{l-1} 2^{-i} < 2m + l = O(m)$$

**Beobachtung** auch asymptotisch exakt

## 5.3 Amortisierte Analyse mit der Kontenmethode

- Verschiedenen Operationen werden verschiedene Kosten zugeordnet, die evtl. auch größer oder kleiner als die tatsächlichen Kosten sein können.
- Wenn die amortisierten Kosten die tatsächlichen Kosten übersteigen, dann wird die Differenz speziellen Objekten in der Datenstruktur als Kredit (Guthaben) zugewiesen, der später verwendet werden kann.
- Dieser dient für Operationen, deren tatsächliche Kosten höher sind als deren amortisierte Kosten. Der Gesamtkredit darf niemals negativ sein.
- Es muss dabei zu jedem Zeitpunkt und für jede Sequenz gelten: die Summe der tatsächlichen Kosten ist kleiner gleich der Summe der amortisierten Kosten.



# Amortisierte Analyse mit der Kontenmethode

Definiere **Konten**

zum Beispiel Operationen, Teile der Datenstruktur, ...

nach Belieben

- bei Operation  $\text{Op}_i$  mit Rechenzeit  $T_i$  auf Konto Betrag  $b_i \in \mathbb{N}$  einzahlen und für Operation Rechenzeit  $T_i + b_i$  als amortisierte Rechenzeit berücksichtigen
- bei Operation  $\text{Op}_i$  mit Rechenzeit  $T_i$  von Konto mit Kontostand  $b \in \mathbb{N}_0$  Betrag  $b_i \in \mathbb{N}$  mit  $b_i \leq b$  abbuchen und für Operation Rechenzeit  $T_i - b_i$  als amortisierte Rechenzeit berücksichtigen

Rechtfertigung  $\rightsquigarrow$  obere Schranke,  
weil nie mehr abgehoben als eingezahlt

## Beispiel Binärzähler mit der Kontenmethode

Definiere    Konten  $\hat{=}$  Stellen  $z_i$

Definiere    **Einzahlung** 1 für „ $0 \rightsquigarrow 1$ “

Beobachtung    jetzt amort. Kosten  $1 + 1 = 2$  je 0-Stelle

Definiere    **Abbuchung** 1 für „ $1 \rightsquigarrow 0$ “

Beobachtung    korrekt, weil immer erst „ $0 \rightsquigarrow 1$ “, dann „ $1 \rightsquigarrow 0$ “

Beobachtung    jetzt amort. Kosten  $1 - 1 = 0$  je 1-Stelle

Beobachtung    amortisierte Kosten 2 für jedes PlusEins

also Gesamtkosten    für  $m$  Operationen  $\leq 2m$

Beobachtung    auch asymptotisch exakt

## 5.4 Union-Find mit Pfadkompression

„Nachlese“ aus DAP 2

Zunächst: Wiederholung aus DAP2 (s.ppt-Folien)

**Bemerkung:** Damit der Beweis identisch zu demjenigen im Skript ist, bauen wir ihn auf der Realisierung des ADT UNION-FIND aus der DAP2-Vorlesung von Ingo Wegener (SS 07) auf. Dort gibt es zwei Unterschiede zu DAP2 vom SS 09:

- Die Basisversion entspricht der aus SS 09 mit der gewichteten Vereinigungsregel nach Größe. UNION vereinigt also zwei Bäume **nach der Größe** (Anzahl der Knoten) statt der Höhe der Bäume.
- Zur Abschätzung wurde eine etwas andere Funktion verwendet ( $Z(k)$  statt  $A_k(1)$ ) Damit ist auch die Inverse eine leicht andere; aber die Wachstumseigenschaften sind ähnlich.

# Kurze Wiederholung aus DAP 2 (vom SS 07)

## Datenstrukturen für Partitionen: ADT UNION-FIND

$n$  Objekte  $1, \dots, n$  initial in  $n$  Mengen  $\{1\}, \dots, \{n\}$

### Operationen

- $\text{FIND}(x)$  Bestimme Repräsentanten der Menge, die  $x$  enthält.
- $\text{UNION}(A, B)$  Vereinige Mengen  $A$  und  $B$ .

### Baumorientierte Datenstruktur für schnelles UNION

- Menge: wurzelgerichteter Baum, Repräsentant und Größe an Wurzel
- FIND sucht Repräsentanten an der Wurzel
- UNION: Wurzel **kleinere Menge** an Wurzel größere Menge

### Pfadkompression

- bei FIND Pfad zur Wurzel speichern
- dann alle Zeiger auf Wurzel umbiegen

# Ein Wort zur Implementierung (mit Pfadkompression)

**Datenstrukturen**    Array  $\pi[1..n]$  für Elternverweis in Bäumen  
                          Array  $G[1..n]$  für Größe

**initial**     $\forall i: \pi[i] = i \text{ \{ * zeigt Wurzel * \}}$   
                   $G[i] = 1$

**Union( $i, j$ )**    If  $G[i] \geq G[j]$   
                      Then  $\pi[j] := i; G[i] := G[i] + G[j]$   
                      Else  $\pi[i] := j; G[j] := G[i] + G[j]$

**Find( $i$ )**     $k := i; \text{ While } \pi[k] \neq k \text{ \{ } k := \pi[k] \text{ \}}$   
                   $w := k; k := i;$   
                  While  $\pi[k] \neq k \text{ \{ } k' := \pi[k]; \pi[k] := w; k := k' \text{ \}}$   
                  Exit mit Ausgabe  $w$

# Über den Sinn von Pfadkompression

klar Union immer in Zeit  $\Theta(1)$

klar Find (ohne und mit Pfadkompression) in Zeit  $\Theta(l)$   
 $l$  = Länge des Weges von  $i$  zur Wurzel

Beobachtung Bäume mit Tiefe  $\Theta(\log n)$  können entstehen

also ohne Pfadkompression für  $n - 1$  Union und  $m$  Find  
Gesamtzeit  $\Omega(n + m \cdot \log n)$  möglich

klar erstes Find( $i$ ) wird durch  
Pfadkompression langsamer, aber nicht asymptotisch

Hoffnung zukünftige Find-Befehle schneller

# Das Theorem aus DAP2 (SS 07)

## Definition 5.1

$Z(0) := 1, Z(i) := 2^{Z(i-1)}$  für  $i \in \mathbb{N}$   
 $\log^* n := \min\{k \mid Z(k) \geq n\}$

Also:  $Z(0) = 1, Z(1) = 2, Z(2) = 4, Z(3) = 2^4 = 16, Z(4) = 2^{16} = 65536, Z(5) = 2^{65536}$

## Theorem 5.2

Mit der Datenstruktur mit wurzelgerichteten Bäumen und Pfadkompression kann eine Folge von bis zu  $n - 1$  Union-Befehlen und  $m$  Find-Befehlen in Zeit  $O((n + m) \log^* n)$  ausgeführt werden.

## Plan für Beweis

- 1 Vorarbeit  $\rightsquigarrow$  wichtige Einsichten in Problemstruktur
- 2 geschickte amortisierte Analyse mit Kostenverteilung

# Tiefe und Elementanzahlen

## Lemma 5.3

Betrachte durch Anwendung von Union und Find entstandene wurzelgerichtete Bäume. Bezeichne **Tiefe**  $h$  eines Baumes die Länge eines längsten Weges von einem Blatt zu einer Wurzel. Ein Baum mit Tiefe  $h$  enthält mindestens  $2^h$  Elemente.

**Beweis.** per vollständiger Induktion

**Induktionsanfang**  $h = 0$

**klar** nur Wurzel,  $\# \text{Elemente} = 1 = 2^0 = 2^h$  ✓

**Induktionsschluss**

**Sei**  $T$  Baum mit Tiefe  $h > 0$  mit **Elementanzahl**  $|T|$  **minimal**

**Sei**  $T$  entstanden durch  $\text{Union}(T_1, T_2)$  mit  $|T_1| \leq |T_2|$

**Beobachtung**  $\text{Tiefe}(T_1) < \text{Tiefe}(T)$  (weil  $T_1$  an Wurzel hängt)  
**also**  $\text{Tiefe}(T_1) \leq h - 1$  ( $\rightsquigarrow$  Induktionsvoraussetzung)



## Beweis von Lemma 5.3

Wir haben  $T$  Baum mit Tiefe  $h > 0$ ,  $|T|$  minimal  
 $T = \text{Union}(T_1, T_2)$  mit  $|T_1| \leq |T_2|$   
 $\text{Tiefe}(T_1) \leq h - 1$

Annahme  $\text{Tiefe}(T_1) < h - 1$

dann  $\text{Tiefe}(T) = \text{Tiefe}(T_2)$

klar  $|T| > |T_2|$  **Widerspruch** ( $T$  war minimal)

also  $\text{Tiefe}(T_1) = h - 1$

aus Induktionsvoraussetzung  $|T_1| \geq 2^{h-1}$

Erinnerung  $|T_2| \geq |T_1|$

also  $|T| = |T_1| + |T_2| \geq 2^{h-1} + 2^{h-1} = 2^h$



# Über Pfadkompression

## Was ändert Find?

- Vorgänger von Knoten
- Tiefe von Bäumen

## Was ändert Find nicht?

- Anzahl der Elemente im Baum
- Elemente im Baum
- Wurzel des Baumes

**Folgerung** Lemma 5.3 gilt **mit** und **ohne** Pfadkompression

# Zentraler Analyse-Trick

Vergleiche Entwicklung der DS (DatenStruktur)  
ohne Pfadkompression und mit Pfadkompression.

Betrachte Befehlsfolge der Länge  $r$  mit  $\leq n - 1$  Union.

## Notation

|                     |  |
|---------------------|--|
| $D_0^{\text{mit}}$  | initiale DS mit Pfadkompression              |
| $D_0^{\text{ohne}}$ | initiale DS ohne Pfadkompression             |
| $D_i^{\text{mit}}$  | DS nach $i$ Operationen mit Pfadkompression  |
| $D_i^{\text{ohne}}$ | DS nach $i$ Operationen ohne Pfadkompression |

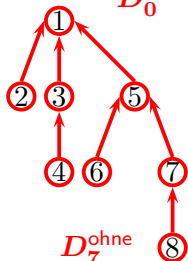
Wir analysieren Union-Find mit Pfadkompression.

Wir betrachten dazu Union-Find ohne Pfadkompression.

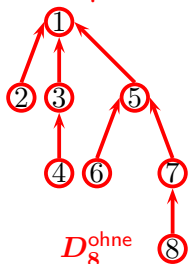
# Mit und ohne Pfadkompression im Vergleich

① ② ③ ④ ⑤ ⑥ ⑦ ⑧

$D_0^{\text{ohne}}$



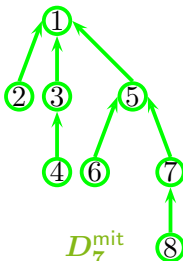
$D_7^{\text{ohne}}$



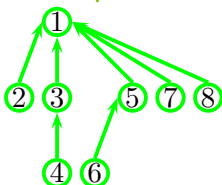
$D_8^{\text{ohne}}$

① ② ③ ④ ⑤ ⑥ ⑦ ⑧

$D_0^{\text{mit}}$



$D_7^{\text{mit}}$



$D_8^{\text{mit}}$

find(8)

Vergleich von  $D_i^{\text{ohne}}$  und  $D_i^{\text{mit}}$ 

## Definition 5.4

Wir betrachten eine Folge von bis zu  $n - 1$  Union- und  $m$  Find-Befehlen. Dabei entstehen nacheinander die Datenstrukturen  $D_0^{\text{mit}}$ ,  $D_1^{\text{mit}}$ ,  $\dots$ ,  $D_r^{\text{mit}}$ . Es bezeichne  $D_0^{\text{ohne}}$ ,  $D_1^{\text{ohne}}$ ,  $\dots$ ,  $D_r^{\text{ohne}}$  die Folge von Datenstrukturen, die bei Anwendung der gleichen Befehlsfolge bei Verzicht auf Pfadkompression entsteht.

## Lemma 5.5

Betrachte die Folgen  $D_i^{\text{mit}}$  und  $D_i^{\text{ohne}}$  gemäß Definition 5.4. Für alle  $i$  gibt es zwischen  $D_i^{\text{mit}}$  und  $D_i^{\text{ohne}}$  eine bijektive Abbildung, die Bäume auf Bäume so abbildet, dass die enthaltenen Elemente und Wurzeln gleich sind.

## Beweis von Lemma 5.5

per Induktion über die Anzahl Operationen  $i$

Induktionsanfang  $i = 0$     trivial ✓

Induktionsschluss

Voraussetzung     $D_i^{\text{mit}}$  und  $D_i^{\text{ohne}}$  so „gleich“

1. Fall     $(i + 1)$ -te Operation ist Find

klar    weder Wurzeln noch Elemente ändern sich ✓

2. Fall     $(i + 1)$ -te Operation ist Union

gemäß Voraussetzung    in  $D_i^{\text{mit}}$  und  $D_i^{\text{ohne}}$  Vereinigung zweier Mengen  
mit jeweils gleicher Wurzel und Größe

also    gleiche Entscheidung, „Gleichheit“ erhalten



# Ein genauerer Blick auf „Tiefe“

## Definition 5.6

Betrachte die Folgen  $D_i^{\text{mit}}$  und  $D_i^{\text{ohne}}$  gemäß Definition 5.4.

Für  $v \in \{1, 2, \dots, n\}$  ist der *Rang*  $\text{Rang}(v) := \max\{\text{Weglänge von } u \text{ nach } v \text{ in } D_i^{\text{ohne}} \mid \text{Find}(u) = \text{Find}(v) \text{ und } u \text{ Blatt}\}$ .

Für  $k \in \mathbb{N}$  ist die *Ranggruppe*  $R_k$  definiert durch

$R_k := \{i \in \mathbb{N}_0 \mid Z(k-1) < i \leq Z(k)\}$ , außerdem ist  $R_0 := \{0, 1\}$ .

$R_0 = \{0, 1\}, R_1 = \{2\}, R_2 = \{3, 4\}, R_3 = \{5, 6, \dots, 16\}, R_4 = \{17, \dots, 65536\}, \dots$

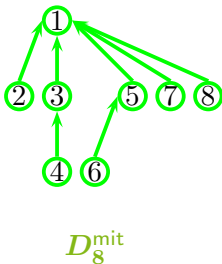
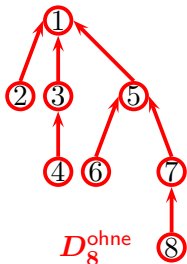
wichtig    Rang immer in  $D_i^{\text{ohne}}$  definiert

**Beobachtung**    in  $D_i^{\text{ohne}}$  wächst Rang streng monoton  
auf dem Weg zur Wurzel

**Behauptung**    in  $D_i^{\text{mit}}$  auch

# Beispiel für Ränge

Beispiel mit  $n = 8$  und  $r = 8$



| Knoten | Rang |
|--------|------|
| 1      | 3    |
| 2      | 0    |
| 3      | 1    |
| 4      | 0    |
| 5      | 2    |
| 6      | 0    |
| 7      | 1    |
| 8      | 0    |



# Rangwachstum

## Lemma 5.7

Betrachte die Folgen  $D_i^{\text{mit}}$  und  $D_i^{\text{ohne}}$  gemäß Definition 5.4.  
Für alle  $v \in \{1, 2, \dots, n\}$  und alle  $w$ , so dass  $v$  Elternknoten von  $w$  in  $D_i^{\text{mit}}$  ist, gilt  $\text{Rang}(v) > \text{Rang}(w)$ .

**Beweis.** Per vollständiger Induktion über Anzahl Operationen  $i$

**Induktionsanfang**  $i = 0$  **trivial**, weil keine Eltern ✓

**Induktionsschluss**

**Voraussetzung** in  $D_i^{\text{mit}}$  erfüllt

**1. Fall**  $(i + 1)$ -te Operation ist Find

**klar** neuer Elternknoten ist nur Wurzel,

und für Wurzel ist Rang maximal ✓

# Beweis von Lemma 5.7

## Induktionsschluss

Voraussetzung in  $D_i^{\text{mit}}$  erfüllt

2. Fall  $(i + 1)$ -te Operation ist Union

Beobachtung nur Kante zwischen  
alter Wurzel und neuer Wurzel neu

Erinnerung Wurzeln in  $D_{i+1}^{\text{mit}}$  und  $D_{i+1}^{\text{ohne}}$  gleich (Lemma 5.5)

also erfüllt, weil in  $D_{i+1}^{\text{ohne}}$  erfüllt

(Rang in  $D_{i+1}^{\text{ohne}}$  definiert)



# Ränge und Anzahlen

## Lemma 5.8

$$\forall k \in \mathbb{N}_0: |\{v \in \{1, 2, \dots, n\} \mid \text{Rang}(v) = k\}| \leq \frac{n}{2^k}$$

Beweis.

Betrachte  $D_i^{\text{ohne}}$

klar  $\text{Rang}(\text{Wurzel}) = \text{Tiefe des Baumes}$

also für  $T$  mit Wurzel  $v$ ,  $|T| \geq 2^{\text{Rang}(v)}$  (Lemma 5.3)

klar  $w$  mit Rang  $k$  hat  
weder Vorgänger noch Nachfolger mit Rang  $k$  (Lemma 5.7)

also  $m$  Elemente mit Rang  $k$   
 $\Rightarrow$  mind.  $m \cdot 2^k$  Knoten in entsprechenden Teilbäumen

also Anzahl Elemente mit Rang  $k \leq n/2^k$



# Beweis von Theorem 5.2

## Theorem 5.2

Mit der Datenstruktur mit wurzelgerichteten Bäumen und Pfadkompression kann eine Folge von bis zu  $n - 1$  Union-Befehlen und  $m$  Find-Befehlen in Zeit  $O((n + m) \log^* n)$  ausgeführt werden.

**Beweis.** mit amortisierter Analyse mit **Kostenverteilung**

Zur Analyse betrachten wir diejenige Rang-Funktion, die am Ende aller Operationen (insbesondere nach dem letzten Union-Befehl) entsteht.

**Erinnerung** jeder Union-Befehl in Zeit  $O(1)$

**also** alle  $\leq n - 1$  Union-Befehle in Zeit  $O(n)$  ✓

**noch offen** Kosten der  $m$  Find-Befehle

# Beweis von Theorem 5.2

## Theorem 5.2

Mit der Datenstruktur mit wurzelgerichteten Bäumen und Pfadkompression kann eine Folge von bis zu  $n - 1$  Union-Befehlen und  $m$  Find-Befehlen in Zeit  $O((n + m) \log^* n)$  ausgeführt werden.

**Beweis.** Kosten der  $m$  Find-Befehle

Definiere **Kostenträger**

- Find-Befehle selbst
- Elemente

**Vereinbarung:** tatsächliche Kosten eines Find-Befehls, der genau  $k$  **Kanten** berührt, ist  $k + 1$  (also auch  $> 0$  für Find(Wurzel))

# Kostenverteilung für einen Find-Befehl

**Betrachte**  $\text{Find}(v_k)$   
berührt Kanten  $v_k \rightarrow v_{k-1} \rightarrow v_{k-2} \rightarrow \cdots \rightarrow v_1 \rightarrow v_0$   
(tatsächliche) Rechenzeit  $k + 1$

## Kostenverteilung

immer Kosten 1 **auf Find-Befehl**

falls  $k > 0$  Kosten 1 (für  $v_1 \rightarrow v_0$ ) **auf Find-Befehl**

falls  $k > 1$  Kosten 1 (für  $v_i \rightarrow v_{i-1}$  für  $i > 1$ )

1. Fall Ranggruppe von  $v_i$  und  $v_{i-1}$  **gleich**  
**auf  $v_i$**
2. Fall Ranggruppe von  $v_i$  und  $v_{i-1}$  **verschieden**  
**auf Find-Befehl**

**Erinnerung** Definition **Ranggruppe** (Definition 5.6)  
 $R_k := \{i \in \mathbb{N}_0 \mid Z(k-1) < i \leq Z(k)\}$  für  $k \in \mathbb{N}$   
 $R_0 := \{0, 1\}$

# Kostensummation über Kostenträger: Find-Befehle

obere Schranke für Gesamtkosten je Find-Befehl

Teilkosten    1 immer

Teilkosten    1 falls nicht Wurzel gesucht

Teilkosten     $r$  für  $r$  Ranggruppenwechsel

Wieviele Ranggruppen gibt es?

Beobachtung     $\leq n$  Ränge

also  $\leq 1 + \log^* n$  Ranggruppen

also Teilkosten     $\leq 1 + \log^* n$  für Ranggruppenwechsel

Gesamtkosten     $\leq 1 + 1 + 1 + \log^* n = O(\log^* n)$  je Find-Befehl

also    Gesamtkosten  $O(m \log^* n)$  für  $m$  Find-Befehle

# Kostensummation über Kostenträger: Elemente $v_i$

**Betrachte** Kante  $v_i \rightarrow v_{i-1}$  mit Kosten **auf**  $v_i$

**klar**  $v_0$  wird Elternknoten von  $v_i$

**Beobachtung**  $v_0$  war vorher **nicht** Elternknoten von  $v_i$   
**sonst Sonderfall**  $v_1 \rightarrow v_0 \rightsquigarrow$  Kosten **auf** Find

**also**  $v_i$  bekommt Elternknoten mit größerem Rang als vorher

**Erinnerung** Kosten für  $v_i \Leftrightarrow \exists g: \{\text{Rang}(v_i), \text{Rang}(v_{i-1})\} \subseteq R_g$

**also**  $\# \text{Rangwachstum der Eltern} \leq Z(g) - Z(g-1) \leq Z(g)$

**also** jedes Element in Ranggruppe  $g$  trägt Kosten  $\leq Z(g)$

**Erinnerung**  $\# \text{Elemente mit Rang } r \leq n/2^r$  (Lemma 5.8)

**also** Anzahl Elemente in Ranggruppe  $g$

$$\begin{aligned} &\leq \sum_{r=Z(g-1)+1}^{Z(g)} \frac{n}{2^r} < n \cdot \sum_{r=Z(g-1)+1}^{\infty} 2^{-r} = \frac{n}{2^{Z(g-1)+1}} \cdot \sum_{r'=0}^{\infty} 2^{-r'} \\ &= \frac{n}{2^{Z(g-1)}} = \frac{n}{Z(g)} \end{aligned}$$



# Kostensummutation für alle Elemente

**Wir haben** Kosten für  $v_i$  nur bei Rangwachstum des Elternknoten  
 $\# \text{Rangwachstum} < n/Z(g)$

**Summation über Ranggruppen**

**Beobachtung** in Ranggruppe  $g'$   
 Gesamtkosten  $\leq Z(g') \cdot \frac{n}{Z(g')} = n$

**Erinnerung**  $\leq 1 + \log^* n$  Ranggruppen

**also** Gesamtkosten summiert über alle Elemente  
 $\leq (1 + \log^* n) \cdot n = O(n \log^* n) \checkmark$

# Zusammenfassung Kostensummutation

|             |   |                       |
|-------------|---|-----------------------|
|             | Gesamtkosten $\leq n - 1$ Union                     | $O(n)$                |
| +           | Gesamtkosten $m$ Finds<br>verteilt auf Find-Befehle | $O(m \log^* n)$       |
| +           | Gesamtkosten $m$ Finds<br>verteilt auf Elemente     | $O(n \log^* n)$       |
| <hr/> Summe |   | $O((n + m) \log^* n)$ |



Asymptotisch exakt? Man kann  $O(n + m \log^* n)$  zeigen

für uns jetzt genau genug

(weitergehender Beweis nicht interessant für uns)